

УДК 544.35:547.112.3:547.495.2

**ОБЪЕМНЫЕ СВОЙСТВА ТРОЙНОЙ СИСТЕМЫ
ВОДА—МОЧЕВИНА—АМИНОКИСЛОТА.
РАЗБАВЛЕННЫЕ И КОНЦЕНТРИРОВАННЫЕ РАСТВОРЫ**

© 2011 **В.П. Королёв***

Институт химии растворов РАН, Иваново

Статья поступила 15 марта 2010 г.

Исследованы парциальные молярные объемы \bar{V}_U^0 аминокислот в водном растворе мочевины. Для насыщенного раствора мочевины \bar{V}_U^0 равен молярному объему аминокислоты, так что в насыщенном растворе аминокислота растворяется без изменения объема системы. Гидрофобные эффекты проявляются в объемных характеристиках только в разбавленных (<1 моль/кг) растворах мочевины. В рамках трехслойной модели гидратации определены числа гидратации аминокислот. На примере аланина и лейцина показано, что их уменьшение с ростом концентрации мочевины определяется цвиттерионным фрагментом и не зависит от размера углеводородного радикала аминокислоты.

Ключевые слова: мочевина, аминокислота, водные растворы, парциальные объемы.

Термодинамические характеристики водных растворов содержат важную информацию об особенностях гидратации веществ, межчастичных взаимодействиях, структуре растворов. Так, парциальные молярные объемы соединений чувствительны к структурным перестройкам, происходящим при растворении в воде неэлектролитов и электролитов, изменении температуры и концентрации раствора. Они позволяют судить о состоянии воды в гидратном комплексе и в объеме раствора, рассчитывать в рамках существующих подходов такую структурную характеристику как число гидратации.

Цель настоящей работы — исследовать концентрационную зависимость парциальных объемов аминокислот в водном растворе мочевины. Ранее [1, 2] было показано, что кажущийся молярный объем мочевины в водном растворе в широком интервале концентраций линейно зависит от $m^{1/2}$, где m — моляльность. В работах [3–5] показано, что аналогичная зависимость имеет место для тепловых характеристик некоторых веществ, в том числе аминокислот в водном растворе мочевины. Представляло интерес провести соответствующий анализ для парциальных объемов аминокислот в системе вода—мочевина, т.е. исследовать применимость уравнения (1) для тройной системы вода—мочевина—аминокислота:

$$\bar{V}_U^0 = (\bar{V}_U^0)^0 + S_V m_U^{1/2}, \quad (1)$$

где \bar{V}_U^0 — предельный (относящийся к бесконечно разбавленному раствору аминокислоты) парциальный объем; $(\bar{V}_U^0)^0$ — значение парциального объема при $m_U = 0$; S_V — наклон; m_U — моляльность мочевины, моль/кг воды.

Наиболее полно характеристики интересующих нас объектов представлены в работе [6]**. Измерения выполнены для воды и четырех концентраций мочевины. С использованием

* E-mail: korolev@isuct.ru

** Температура здесь и далее стандартная (298,15 К).

Т а б л и ц а 1

Объемные характеристики ($\text{см}^3/\text{моль}$) веществ в воде и водном растворе мочевины по данным [6—9]

Вещество	$(\bar{V}_U^0)^0$	S_V	s_f	\bar{V}_W^0	$\bar{V}_W^0 - (\bar{V}_U^0)^0$
Глицин [6]	42,74±0,01	1,183±0,005	0,007	43,23	0,49
β -Аланин [6]	57,62±0,07	1,168±0,033	0,044	58,25	0,63
<i>L</i> -Аланин [6]	59,69±0,05	1,198±0,025	0,033	60,50	0,81
<i>L</i> -Валин [6]	89,95±0,08	1,119±0,040	0,054	90,78	0,83
<i>L</i> -Лейцин [7,8]	106,73±0,05	1,202±0,019	0,025	107,83	1,10
<i>L</i> -Серин [6]	59,89±0,12	1,454±0,058	0,078	60,72	0,83
<i>L</i> -Треонин [6]	76,18±0,03	1,280±0,014	0,019	76,94	0,76
NaCl [9]	15,62±0,07	1,833±0,036	0,047	16,58	0,96

П р и м е ч а н и е. Расчет проведен по уравнению (1) для моляльностей мочевины 1, 3, 5, 8 [6]; 3, 6 [7], 12,6 [8] и 0,88, 1,85, 4,16, 7,14 [9] (моль/кг воды). \bar{V}_W^0 — предельный парциальный объем вещества в водном растворе.

этих данных получены параметры уравнения (1), приведенные в табл. 1. Там же приведены результаты наших расчетов для лейцина при трех концентрациях мочевины [7, 8] и для NaCl при четырех концентрациях [9]. Точность описания можно оценить как превосходную; ни в одном случае стандартное отклонение s_f не превысило 0,1 $\text{см}^3/\text{моль}$.

Сопоставим полученные результаты с данными других источников. В работе [8] определены значения \bar{V}_U^0 для 8М раствора мочевины ($12,6m$)*. Опытные значения для трех аминокислот из этой работы ниже сопоставлены с рассчитанными по параметрам в табл. 1 ($\text{см}^3/\text{моль}$).

	<i>L</i> -Валин	<i>L</i> -Серин	<i>L</i> -Треонин
Опыт [8]	94,08	64,97	81,10
Расчет	93,92	65,05	80,72

Следует обратить внимание, что параметры табл. 1 получены для $m \leq 8$, а опытные величины относятся к $12,6m$ раствору мочевины. Учитывая сказанное, согласованность данных в случае валина и серина следует признать превосходной. Что касается треонина, то для него опытное значение [8] возможно несколько завышено.

В работе [11] значения кажущихся объемов глицина, *L*-аланина и *L*-серина получены для 1,05, 3,49, 6,26 и $12,5m$ растворов мочевины, но измерения проведены для одной — двух концентраций аминокислоты в очень разбавленных растворах. Лишь в случае 7М раствора мочевины ($10,3m$) концентрационная зависимость проработана более детально. Мы приняли значения кажущихся объемов за стандартные, добавили к ним величины при концентрации $10,3m$ и для этого набора данных получили параметры, приведенные в табл. 2. Для глицина и серина имеет место превосходное согласие параметров с величинами в табл. 1. В случае *L*-аланина имеют место некоторые расхождения. Сопоставим расчетные значения парциальных объемов *L*-аланина ($\text{см}^3/\text{моль}$), полученные из данных табл. 1 (первая строка) и табл. 2 (вторая строка)

1	3	5	6	10	$12,6m$
60,89	61,76	62,37	62,62	63,48	63,94
60,98	61,79	62,35	62,58	63,37	63,80

С учетом опытных значений 61,64, 62,67 и 64,20 $\text{см}^3/\text{моль}$ соответственно для $3m$ [7], $6m$ [7] и $12,6m$ [8] растворов параметры в табл. 1 для *L*-аланина представляются более предпочтительными.

* Данные ранней работы [10] для 6М раствора мочевины имеют довольно большую погрешность.

Таблица 2

Объемные характеристики ($\text{см}^3/\text{моль}$) аминокислот в воде и водном растворе мочевины по данным [8, 11]

Вещество	$(\bar{V}_U^0)^0$	S_V	s_f	\bar{V}_W^0	$\bar{V}_W^0 - (\bar{V}_U^0)^0$
Глицин	$42,78 \pm 0,12$	$1,172 \pm 0,046$	0,094	43,25	0,47
L-Аланин	$59,87 \pm 0,11$	$1,107 \pm 0,042$	0,085	60,45	0,58
L-Серин	$59,85 \pm 0,20$	$1,435 \pm 0,077$	0,157	60,62	0,77

Примечание. Расчет проведен по уравнению (1) для моляльностей мочевины 1,05, 3,49, 6,26, 10,3 и 12,5 моль/кг воды [11]; \bar{V}_W^0 из работы [8].

В работе [12] определены значения \bar{V}_U^0 глицина в водных растворах мочевины из данных для разбавленной области по глицину. На рис. 1 данные [12] сопоставлены с расчетными (взяты параметры из табл. 1), а также экспериментальными величинами из других работ. Можно констатировать, что данные [12] для 6 и 11 m растворов довольно сильно занижены.

Что касается системы вода—мочевина—NaCl, то в работе [13] приведены изменения объемов при переносе NaCl ($\bar{V}_U^0 - \bar{V}_W^0$), равные $2,05 \text{ см}^3/\text{моль}$ для 3 m раствора мочевины и $5,2 \text{ см}^3/\text{моль}$ для 13 m раствора. Расчет из данных табл. 1 дает значения $2,21$ и $5,6 \text{ см}^3/\text{моль}$ соответственно, что можно оценить как удовлетворительное согласие.

Рассмотрим разбавленные растворы мочевины ($m < 1$). В разбавленной области имеют место только парные взаимодействия компонентов тройной системы W—U—A, где A — компонент, находящийся в состоянии бесконечного разбавления [14]

$$\bar{V}_U^0 = \bar{V}_W^0 + S'_V m_U = \bar{V}_W^0 + 2\nu_{UA} m_U, \quad (2)$$

ν_{UA} — объемный параметр парного взаимодействия.

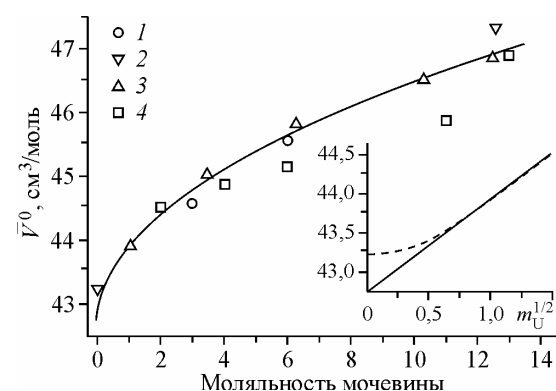
Воспользовавшись данными табл. 1, получаем для глицина

$$\bar{V}_U^0 = 43,23 + 0,693 m_U. \quad (3)$$

Эта зависимость показана на вставке рис. 1 пунктирной линией, а зависимость (1) — сплошной линией. Наклон пунктирной линии уменьшается при разбавлении раствора*. Интересно в этой связи сопоставить наклоны в соотношениях (1) и (2) для других веществ. Удобно

Рис. 1. Парциальные объемы глицина в водном растворе мочевины.

Символы — эксперимент, линия — расчет по уравнению (1) с параметрами из табл. 1. 1 — данные [7], 2 — [8], 3 — [11], 4 — [12]



* В работе [15] исследованы объемные свойства двойной системы вода—глицин до 2 m раствора. Авторы получили две зависимости парциального объема глицина от $m^{1/2}$ с точкой пересечения при $m^{1/2} \approx 0,5$. Зависимость для более концентрированного раствора имеет гораздо больший наклон. Наклон в разбавленной области, как отмечают авторы [15], гораздо меньше, чем теоретический дебаевский наклон для электролитов 1:1. Сделан вывод, что поведение глицина является промежуточным между неэлектролитами и электролитами. Зависимость [15] для парциального объема глицина от $m^{1/2}$ очень похожа на показанную на вставке рис. 1.

рассмотреть эти характеристики по отношению к глицину ($s'_V = S'_V(\text{A}) / S'_V(\text{Gly})$, $s_V = S_V(\text{A}) / S_V(\text{Gly})$). Понятно, что $s'_V = v_{\text{UA}}(\text{A}) / v_{\text{UA}}(\text{Gly})$.

Вещество	NaCl	Gly	β -Ala	<i>L</i> -Ala	<i>L</i> -Val	<i>L</i> -Leu	<i>L</i> -Ser	<i>L</i> -Thr
s'_V	1,26	1	0,78	0,56	0,42	0,15	0,90	0,75
s_V	1,55	1	0,99	1,01	0,95	1,02	1,23	1,08

Увеличение размера углеводородного радикала в ряду алифатических аминокислот проявляется в уменьшении значений s'_V , т.е. только в разбавленных растворах. Взаимодействие сфер гидрофобной гидратации, где вода более структурирована, с мочевиной приводит к вытеснению части воды в объем раствора, что дает отрицательный вклад в v_{UA} [7, 14]. Положительный вклад обусловлен взаимодействием сфер гидрофильной гидратации веществ с мочевиной. Появление дополнительных центров гидрофильной гидратации (групп OH) в серине и треонине приводит к дополнительному росту s'_V для этих аминокислот по сравнению, например, с *L*-аланином. Таким образом гидрофобные эффекты, видимо, не проявляются уже при относительно невысокой концентрации мочевины ($\geq 1m$). Напротив, гидрофильные эффекты при более высоких концентрациях усиливаются ($s_V > s'_V$)*.

Важной характеристикой является изменение объема при переходе вещества из твердой фазы в растворитель с образованием бесконечно разбавленного раствора, т.е. стандартный объем растворения $\Delta V^0 = \bar{V}^0 - V_s$. Эта характеристика содержит информацию о взаимодействии растворенного вещества с растворителем, состоянии воды (ее структуре) в гидратной оболочке и в объеме раствора. Однако обсуждаемое свойство является разностью двух относительно больших величин, определяемых с конечной точностью.

В табл. 3 приведены молярные объемы веществ в твердом состоянии V_s , рассчитанные из данных о плотности [17—19], а также ряд характеристик растворов. Обращают на себя внимание

Таблица 3

Молярные объемы твердых веществ (V_s), их парциальные объемы в насыщенном растворе мочевины ((\bar{V}_U^0) (20)) и изменения объемов при растворении (см³/моль)

Вещество	V_s	$\bar{V}_W^0 - V_s$	(\bar{V}_U^0) (20)	ΔV^0 (20)
NaCl	26,99	-10,41	23,82	-3,17
Глицин	46,98	-3,75	48,03	1,05
β -Аланин	63,46	-5,21	62,84	-0,62
<i>L</i> -Аланин	64,98	-4,48	65,05	0,07
<i>L</i> -Валин	92,46	-1,67	94,95	2,50
<i>L</i> -Лейцин	112,40	-4,57	112,11	-0,29
<i>L</i> -Серин	66,43	-5,71	66,39	-0,04
<i>L</i> -Треонин	79,46	-2,52	81,90	2,44

Примечание. V_s рассчитаны из данных о плотности NaCl [17], глицина и *L*-аминокислот [18], β -аланина [19].

* Свойства двойной системы вода—мочевина, как правило, монотонно изменяются с концентрацией. В этой связи представляет интерес, что такая характеристика, как избыточная адиабатическая сжимаемость раствора мочевины в воде, сначала растет с увеличением концентрации растворенного вещества (до 1*m* раствора при 318 K), а далее уменьшается [16]. При понижении температуры максимум смещается в область более разбавленных растворов.

ние очень небольшие значения $\Delta V^0(W) = \bar{V}_W^0 - V_s$ в случае валина и треонина*. В поисках причины этих аномалий мы обратились к концентрированным растворам мочевины. Насыщенному при 298 К раствору мочевины соответствует концентрация 20 моль/кг воды [20]. По уравнению (1) были рассчитаны объемные характеристики веществ для насыщенного раствора мочевины: $\bar{V}_U^0(20) = \bar{V}_U^0$ (нсщ) и $\Delta V^0(20) = \Delta V^0(\text{нсщ}) = \bar{V}_U^0(20) - V_s$ (см. табл. 3). В случае трех аминокислот *L*-аланина, *L*-лейцина и *L*-серина $\Delta V^0(\text{нсщ}) \approx 0$, а в случае β -аланина ΔV^0 в насыщенном растворе мочевины не сильно отличается от нуля. Полученные результаты позволяют предположить, что аминокислоты в насыщенном растворе мочевины должны растворяться без изменения объема**. Тогда \bar{V}_U^0 (нсщ) должны быть равны V_s , как это и имеет место в случае *L*-аланина, *L*-лейцина и *L*-серина. Для других аминокислот различие между $\bar{V}_U^0(20)$ и V_s составляет 1 % (β -аланин), 2 % (глицин), 2,6 % (валин), 3 % (треонин). Много это или мало?

В случае валина можно привести два аргумента, говорящие в пользу того, что его молярный объем скорее 95, чем 92,5 см³/моль, а значит, плотность *L*-валина в работе [18] на 2,6 % завышена. Во-первых, молярный объем *D*-валина равен 95,2 см³/моль [19]. Во-вторых, для аминокислот в ряду глицина— β -аланин—*L*-аланин—*L*-лейцин весьма точно выполняется линейная зависимость молярного объема аминокислоты от молекулярной массы M_A

$$V_s = -39,4 \pm 2,3 + (1,16 \pm 0,02)M_A, \quad s_f = 0,96 \text{ см}^3/\text{моль}. \quad (4)$$

Рассчитанная по (4) величина молярного объема валина равна 96,3 см³/моль.

Мы полагаем, что значение $V_s = 81,9$ см³/моль для треонина (см. табл. 3) является более точным, чем рассчитанное из плотности (79,5 см³/моль [18]). В случае глицина ситуация более сложная. Для него известны три полиморфные модификации, несколько отличающиеся по плотности [21]. Более того, величина плотности γ -формы глицина из эксперимента отличается на 1 % от рассчитанной из данных о дифракции рентгеновских лучей [21]. Но даже минимальному значению плотности глицина, которое приведено в [21], соответствует молярный объем 47,15 см³/моль, что совпадает с V_s в табл. 3. Так что оснований сомневаться в этом значении вроде бы нет. Однако остается вопрос: почему $\Delta V^0(20)$ не изменяется закономерно в ряду NaCl—глицин— β -аланин?

Представляет интерес рассмотреть более широкий круг объектов. В работе [8] определены парциальные объемы 22 аминокислот в 8М (12,6*m*) растворе мочевины. Часть этих данных была использована выше для целей сопоставления, а в случае *L*-лейцина — для расчета. Как получить уравнение прямой (1)? Нужна вторая точка. Можно заметить (см. табл. 1, 2), что разность $\bar{V}_W^0 - \bar{V}_U^0$ составляет 1/100 от \bar{V}_W^0 ; значит, $(\bar{V}_U^0)^0 = 0,99\bar{V}_W^0$. Это и есть вторая точка. Далее получаем уравнение прямой, которое запишем в виде

$$(\bar{V}_U^0)^0 / \bar{V}_W^0 = 0,99 + (A - 0,99)m_U^{1/2} / 12,6^{1/2}, \quad m_U \geq 1, \quad (5)$$

где $A = \bar{V}_U^0(12,6) / \bar{V}_W^0$ ($\bar{V}_U^0(12,6)$ — парциальный объем аминокислоты при $m_U = 12,6$).

Для группы, состоящей из глицина и алифатических аминокислот (аланин—лейцин), можно записать более простое соотношение. Величина S_V в уравнении (1) для этой группы есть константа $S_V = 1,174 \pm 0,001$. Следовательно, можно записать уравнение

$$\bar{V}_U^0 = 0,99\bar{V}_W^0 + 1,174m_U^{1/2}, \quad m_U \geq 1. \quad (6)$$

Если провести расчет по (6) для изолейцина ($\bar{V}_W^0 = 105,45 \pm 0,05$ см³/моль [8]), то получим $\bar{V}_U^0(20) = 109,66$ см³/моль. Эта величина всего на 0,4 % больше значения $V_s = 109,22$ см³/моль, рассчитанного из плотности [18]. Значит, гипотеза о $\Delta V^0 = 0$ в этом случае подтверждается.

* Меньшее значение \bar{V}_W^0 , чем V_s , т.е. $\Delta V^0 < 0$ объясняют [19] электрострикцией растворителя около заряженных групп NH₃⁺ и COO⁻.

** В работе [13] авторы говорят об эффекте насыщения. Подтверждается гипотеза [14], что при повышении концентрации мочевины некоторые парциальные характеристики должны приближаться к свойствам чистого растворенного вещества.

Т а б л и ц а 4

Парциальные объемы аминокислот в водном растворе, их молярные объемы (см³/моль) и плотности (г/см³) в твердом состоянии

Вещество	\bar{V}_W^0	V_s	ρ_s [18]	ρ_s (7)
β -Аланин	58,25 [6]	63,46	1,404 [19]	1,412
<i>L</i> -Аланин	60,50 [6]	64,98	1,371	1,364
<i>L</i> -Пролин	82,65 [8]	87,07*	1,376	1,322
<i>L</i> -Валин	90,78 [6]	94,95*	1,267	1,232
<i>L</i> -Изолейцин	105,45 [8]	109,22	1,201	1,198
<i>L</i> -Лейцин	107,83 [7]	112,40	1,167	1,173
<i>L</i> -Фенилаланин	121,92 [8]	125,62	1,315	1,314

* Расчетные величины (см. текст).

Однако рассчитанный по уравнению (6) парциальный объем изолейцина в 12,6*m* растворе мочевины составляет 108,56 см³/моль, что значительно ниже, чем экспериментальное значение 109,65 ± 0,06 см³/моль [8]. Экспериментальная величина нуждается в уточнении.

В случае фенилаланина ($\bar{V}_W^0 = 121,92 \pm 0,02$ см³/моль [8]) получаем по уравнению (6) $\bar{V}_U^0(20) = 125,95$ см³/моль, что всего на 0,3 % выше экспериментальной величины $V_s = 125,62$ см³/моль, рассчитанной из плотности [18]. Однако из уравнения (6) $\bar{V}_U^0(12,6) = 124,87$ см³/моль, что значительно ниже экспериментальной величины 126,94 ± 0,16 см³/моль [8]. Ниже мы приведем подтверждение тому, что "высокое" значение является ошибочным.

Уравнение (5) можно использовать для оценки плотности аминокислот в твердом состоянии. Так, плотности важных аминокислот *L*-аспарагина и *L*-глутамина в работе [18] не были определены. В рамках гипотезы $\Delta V^0(20) = 0$ из данных [8] для *L*-аспарагина ($\bar{V}_W^0 = 77,18 \pm 0,18$, $\bar{V}_U^0(12,6) = 82,33 \pm 0,08$ см³/моль) и *L*-глутамина ($\bar{V}_W^0 = 94,36 \pm 0,08$, $\bar{V}_U^0(12,6) = 98,30 \pm 0,05$ см³/моль) получаем соответствующие значения плотности 1,58 (аспарагин) и 1,47 г/см³ (глутамин).

Соотношение (6) выполняется и для иминокислоты пролина. Расчет для этого соединения дает $\bar{V}_U^0(12,6) = 85,99$ см³/моль, что превосходно согласуется с экспериментальным значением 86,13 см³/моль [8]. Однако расчет приводит к $\bar{V}_U^0(20) = 87,07$ см³/моль, что на 4 % выше величины V_s из плотности [18].

В табл. 4 обобщены данные для неполярных аминокислот, с включением в нее скорректированных значений V_s для пролина (87,07 см³/моль) и валина (94,95 см³/моль, см. табл. 3). Оказалось, что для набора аминокислот в табл. 4 имеет место превосходная корреляция ($r = 0,9999$):

$$V_s = (0,984 \pm 0,006)\bar{V}_W^0 + 5,8 \pm 0,6, \quad s_f = 0,4 \text{ см}^3/\text{моль}. \quad (7)$$

Плотности твердых аминокислот, полученные в эксперименте [18, 19] и рассчитанные с использованием уравнения (7), даны в табл. 4.

Соотношение (7) отражает, на первый взгляд, только частную взаимосвязь между характеристикой твердой фазы и парциальной характеристикой двойной системы вода—аминокислота*. Однако это соотношение допускает весьма неожиданное преобразование.

Запишем (1) для насыщенного (20*m*) раствора мочевины

* Расчет по (7) с использованием \bar{V}_W^0 из [8] дает для неполярных серосодержащих аминокислот *L*-цистеина и *L*-метионина значения V_s , равные 78,2 и 109,4 см³/моль соответственно. Эти величины на 4 % ниже, чем рассчитанные из плотности [18].

Рис. 2. Зависимость наклона в уравнении (1) от энталпийного коэффициента парного взаимодействия вещества с мочевиной в водном растворе

$$\bar{V}_U^0(20) = (\bar{V}_U^0)^0 + S_V \cdot 20^{1/2}. \quad (8)$$

Условие $V_s = \bar{V}_U^0(20)$ придает новое содержание слагаемым в (7) при переходе от двойной системы вода—аминокислота к тройной системе вода—мочевина—аминокислота. Из (7), (8) с учетом (1) немедленно получаем

$$\bar{V}_U^0 = (0,984 \pm 0,006)\bar{V}_W^0 + (1,30 \pm 0,13)m_U^{1/2}, \quad (9)$$

где $1,30 = 5,8/20^{1/2} = S_V$.

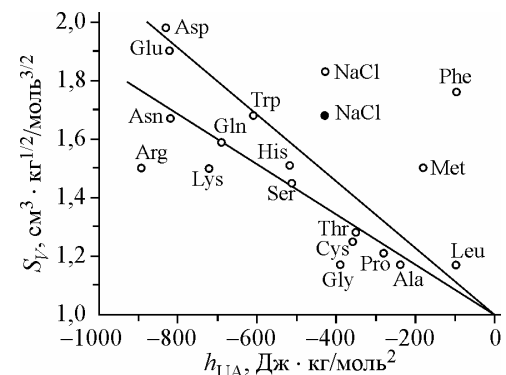
Соотношение (9) полностью эквивалентно (6), результаты расчета различаются на несколько десятых кубических сантиметров на моль. Это означает, что (9) выполняется и в случае глицина, однако эта аминокислота в табл. 4 не была включена. Дело в том, что уравнение (7) дает для глицина $V_s = 48,34 \text{ см}^3/\text{моль}$, что существенно выше, чем экспериментальное значение (см. табл. 3)*.

Выше был обсужден наклон S_V уравнения (1) как характеристика, чувствительная к гидрофильным взаимодействиям, которые, видимо, определяют структуру тройной системы вода—мочевина—аминокислота уже при $m_U > 1 \text{ моль}/\text{кг}$ воды. Представляло интерес в этом плане рассмотреть данные для более широкого круга *L*-аминокислот. Для этого из данных [8] по уравнению (5) были рассчитаны величины наклонов. На рис. 2 они сопоставлены с энталпийными коэффициентами парного взаимодействия мочевины с *L*-аминокислотами из работы [22]. На рис. 2 приведены также характеристики электролита NaCl. Верхнее значение S_V для NaCl (светлый символ) взято из табл. 1. Более низкое значение наклона (темный символ) получено по двум точкам ($m_U = 3$ и $m_U = 13$) из работы [13]. Энталпийный коэффициент h_{UA} для NaCl получен из соотношения

$$\Delta H^0 = 3,85 - (0,856 \pm 0,035)m_U + (0,039 \pm 0,004)m_U^2, \quad s_f = 0,13 \text{ кДж}/\text{моль}, \quad (10)$$

для энталпии растворения NaCl в системе вода—мочевина при моляльностях мочевины 1,85, 4,16, 7,135, 11,10 [23]**.

В целом на рис. 2 имеет место соответствие обсуждаемых характеристик. Усиление гидрофильного взаимодействия мочевины с аминокислотами (более отрицательные значения h_{UA}) приводят к росту S_V . Положительные отклонения для фенилаланина и метионина связаны, видимо, с неточностью экспериментальных данных [8], что уже было отмечено выше. К верхней прямой на рис. 2 принадлежат кислоты (аспарагиновая и глутаминовая), содержащие в боковом фрагменте группу COOH. К нижней прямой принадлежат треонин и серин, содержащие в боковом фрагменте группу OH, а также гидрофильные глутамин и аспарагин, содержащие в боковом фрагменте амидную группу. Основные аминокислоты, содержащие в боковом фрагменте группы NH₂ (лизин) и C(NH)NH₂ (аргинин), имеют меньшие значения наклонов. Следует при-



* Расчет по (9) дает для *L*-цистеина значение $\bar{V}_U^0(12,6) = 77,06 \text{ см}^3/\text{моль}$, что хорошо согласуется с экспериментальным $77,33 \text{ см}^3/\text{моль}$ [8]. Однако в случае *L*-метионина расчетная величина $108,23 \text{ см}^3/\text{моль}$ значительно ниже экспериментальной $109,56 \text{ см}^3/\text{моль}$ [8].

** Несколько большую погрешность имеет зависимость $\Delta H^0 = f(m_U^{1/2})$: $\Delta H^0 = 4,28 \pm 0,32 - (1,59 \pm 0,13) \times m_U^{1/2}$, $s_f = 0,19 \text{ кДж}/\text{моль}$, однако именно это уравнение следует использовать для расчета теплот растворения NaCl в концентрированных растворах мочевины, вплоть до насыщенного. Следует отметить, что аналогичные уравнения для теплот растворения глицина и *L*-аланина в водном растворе мочевины при $m_U = 2,2 - 12,6$ (данные [24]) имеют почти нулевые стандартные отклонения: глицин $\Delta H^0 = 14,95 \pm 0,01 - (1,524 \pm 0,003)m_U^{1/2}$, $s_f = 0,004 \text{ кДж}/\text{моль}$, аланин $\Delta H^0 = 7,78 \pm 0,01 - (0,730 \pm 0,002)m_U^{1/2}$, $s_f = 0,003 \text{ кДж}/\text{моль}$.

этом сказать, что сопоставление данных [8, 25] для парциальных объемов \bar{V}_W^0 аспарагиновой и глутаминовой кислот, а также аргинина показывает их плохую согласованность.

Изменение парциального объема вещества в водном растворе мочевины можно связать с изменением такой структурной характеристики как число гидратации. В рамках трехслойной модели гидратации можно записать [13] для парциального объема

$$\bar{V}_U^0 = V_{in} + n_{1h}(\bar{V}_{1h} - \bar{V}_W) + n_{2h}(\bar{V}_{2h} - \bar{V}_W), \quad (11)$$

где V_{in} — собственный объем вещества (аминокислоты); n — число молекул воды в первой (1h) и второй (2h) гидратных сферах; \bar{V}_{1h} и \bar{V}_{2h} — соответствующие объемы воды (это величины постоянные); $\bar{V}_W = f(m_U)$ — парциальный объем воды в двойной системе вода—мочевина.

Для расчета собственного объема аминокислоты было использовано соотношение [26]

$$V_{in}^{1/3} = 0,1169 + 0,9817 V_s^{1/3}. \quad (12)$$

Для расчета \bar{V}_W использовано соотношение

$$\bar{V}_W = 18,07 - 2,786 m_U^{3/2} / 1000, \quad (13)$$

полученное из уравнения для кажущегося объема мочевины [2]. Было также принято $\bar{V}_{2h} = \bar{V}_W (20m)$. Из соотношения (13) находим $\bar{V}_{2h} = 17,82 \text{ см}^3/\text{моль}$. Расчеты проводили при условии, что $n_{2h} = 2n_{1h}$, а $n_{1h} = 4$ [25] при $m = 0$. Использовали уравнение (1) с параметрами в табл. 1; значения V_s взяты из табл. 3.

Приведем данные (n_{1h}) только для двух веществ: аланина и лейцина.

Моляльность	0	2	4	6	8	10	20=m(нсщ)
L-Аланин	4	3,14	2,80	2,59	2,41	2,30	1,87
L-Лейцин	4	3,16	2,84	2,63	2,46	2,35	1,97

Изменение числа гидратации с изменением концентрации мочевины определяется цвиттерионным фрагментом и не зависит от размера бокового фрагмента алифатической аминокислоты.

В работе [16] из данных об адиабатической сжимаемости определены числа гидратации мочевины в системе вода—мочевина. На отрезке 2,2—10,3 m для чисел гидратации мочевины выполняется соотношение ($T = 303 \text{ K}$)

$$n_h = 3,41 \pm 0,02 - (0,63 \pm 0,01)m_U^{1/2}, \quad s_f = 0,014. \quad (14)$$

Для 20 m раствора мочевины уравнение (14) дает $n_h = 0,6$. Эта величина значительно (в 3 раза) меньше, чем число гидратации аминокислоты n_{1h} в насыщенном растворе мочевины. Для 2 m раствора число гидратации мочевины (2,52 [16]) лишь несколько меньше, чем аминокислот.

Исследователи отмечают, что добавки мочевины к воде действуют на ее структуру как повышение температуры, т.е. в сторону уменьшения структурированности [13, 27]. Действительно, оба фактора уменьшают эндотермичность растворения гидрофильных неорганических солей [23, 28], т.е. усиливают сольватацию их ионов, но уменьшают и экзотермичность растворения гидрофобного электролита Bi_4NBr [29], т.е. ослабляют сольватацию его ионов. В этой связи было интересно сопоставить, как эти два фактора действуют на парциальные объемы аминокислот. Проведем такое сопоставление для глицина. Из данных табл. 1 следует, что переход от воды к 1 m раствору мочевины сопровождается для глицина увеличением объема на 0,7 $\text{cm}^3/\text{моль}$. Из уравнения [30] можно рассчитать, что такому изменению объема соответствует повышение температуры от 298 до 310 K, т.е. на 12 K.

СПИСОК ЛИТЕРАТУРЫ

1. Королев В.П. // Журн. структур. химии. – 2008. – **49**. – С. 688 – 695.
2. Королев В.П. // Журн. структур. химии. – 2008. – **49**, № 4. – С. 696 – 706.
3. Королев В.П., Батов Д.В., Смирнова Н.Л., Кустов А.В. // Журн. структур. химии. – 2007. – **48**. – С. 717 – 723.
4. Королев В.П. // Журн. структур. химии. – 2007. – **48**. – С. 724 – 730.

5. Королев В.П., Батов Д.В., Кустов А.В. // Биофизика. – 2010. – **55**, № 2. – С. 207 – 212.
6. Ogawa T., Yasuda M., Mizutani K. // Bull. Chem. Soc. Jpn. – 1984. – **57**. – Р. 662 – 666.
7. Mishra A.K., Prasad K.P., Ahluwalia J.C. // Biopolymers. – 1983. – **22**. – Р. 2397 – 2409.
8. Jolicoeur C., Riedl B., Desrochers D. et al. // J. Sol. Chem. – 1986. – **15**. – Р. 109 – 128.
9. Hakin A.W., Beswick C.L., Duke M.M. // J. Chem. Soc. Faraday Trans. – 1996. – **92**. – Р. 207 – 213.
10. Hargraves W.A., Kresheck G.C. // J. Phys. Chem. – 1969. – **73**. – Р. 3249 – 3254.
11. Enea O., Jolicoeur C. // J. Phys. Chem. – 1982. – **86**. – Р. 3870 – 3881.
12. Hakin A.W., Groft L.L., Marty J.L., Rushfeldt M.L. // Canad. J. Chem. – 1997. – **75**. – Р. 456 – 464.
13. Desrosiers N., Perron G., Mathieson J.G. et al. // J. Solut. Chem. – 1974. – **3**. – Р. 789 – 806.
14. Perron G., Desrosiers N., Desnoyers J.E. // Canad. J. Chem. – 1976. – **54**. – Р. 2163 – 2183.
15. Lark B.S., Bala K. // Indian J. Chem. – 1983. – **22A**. – Р. 192 – 194.
16. Das Gupta P.K., Moulik S.P. // J. Phys. Chem. – 1987. – **91**. – Р. 5826 – 5832.
17. Физические величины: Справочник / Под ред. И.С. Григорьева, Е.З. Мейлихова. – М.: Энергоатомиздат, 1991.
18. Berlin E., Pallansch M.J. // J. Phys. Chem. – 1968. – **72**. – Р. 1887 – 1889.
19. Cohn E.J., McMeekin T.L., Edsall J.T., Weare J.H. // J. Amer. Chem. Soc. – 1934. – **56**. – Р. 2270 – 2282.
20. Jakli Gy., Van Hook W.A. // J. Phys. Chem. – 1981. – **85**. – Р. 3480 – 3493.
21. Perlovich G.L., Hansen L.K., Bauer-Brandl A. // J. Therm. Anal. Calorim. – 2001. – **66**. – Р. 699 – 715.
22. Palecz B. // J. Amer. Chem Soc. – 2005. – **127**. – Р. 17768 – 17771.
23. Pointud Y., Juillard J. // J. Chem. Soc. Faraday Trans. I. – 1977. – **73**. – Р. 1048 – 1053.
24. Abu-Hamdiyyah M., Shehabuddin A. // J. Chem. Eng. Data. – 1982. – **27**. – Р. 74 – 76.
25. Millero F.J., Lo Surdo A., Shin C. // J. Phys. Chem. – 1978. – **82**. – Р. 784 – 792.
26. Leyendekkers J.V. // J. Phys. Chem. – 1986. – **90**. – Р. 5449 – 5455.
27. Mathieson J.G., Conway B.E. // J. Sol. Chem. – 1974. – **3**. – Р. 781 – 788.
28. Мищенко К.П., Полторацкий Г.М. Термодинамика и строение водных и неводных растворов электролитов. – Изд. 20-е, пер. и доп. – Л.: Химия, 1976.
29. Sarma T.S., Ahluwalia J.C. // J. Phys. Chem. – 1972. – **76**. – Р. 1366 – 1369.
30. Королев В.П. // Журн. структур. химии. – 2010. – **51**, № 3. – С. 509 – 517.